

رد تansور انرژی - تکانه و پس زنی گرانشی اسکالارهای شوینگر در فضازمان دوسیته سه بعدی

احسان باورساد و محجوبه مرتضیزاده

دانشکده فیزیک، دانشگاه کاشان، کاشان

پست الکترونیکی: bavarsad@kashanu.ac.ir

(دریافت مقاله: ۱۳۹۶/۰۷/۱۲؛ دریافت نسخه نهایی: ۱۳۹۶/۰۷/۲۹)

چکیده

در این مقاله، یک میدان اسکالار جرم دار و باردار جفت شده به یک میدان الکتریکی یکنواخت زمینه در فضازمان دوسیته^۱ سه بعدی را در نظر می گیریم. ما مقدار ثابت جفت شدگی بی بعد میدان اسکالار به خمس اسکالار فضازمان دوسیته سه بعدی را برابر با $\frac{1}{8}$ در نظر می گیریم. چشم داشتی رد تانسور انرژی - تکانه را در حالت خلاء و رودی حساب می کنیم و نشان می دهیم که با استفاده از روش بهسازی^۲ کم کردن بی دررو^۳ و اگرایی فرآیند خطي حذف می شود و عبارتی متناهی به دست می آید. رفتار ردهسازی شده را در قلمروهای حدی گوناگون جرم میدان اسکالار و میدان الکتریکی مطالعه می کنیم. نشان می دهیم که رد به عنوان تابعی از میدان الکتریکی دارای یک ناپیوستگی است که در آن تغییر علامت می دهد. برای مورد جفت شدگی همدیس^۴ میدان اسکالار به فضازمان دوسیته، نشان می دهیم که رد صفر می شود و ناهنجاری^۵ رد وجود ندارد. دریاره اثر پس زنی گرانشی زوج های شوینگر^۶ خلق شده بحث می کنیم.

واژه های کلیدی: فضازمان دوسیته، میدان اسکالار، اثر شوینگر، رد تانسور انرژی - تکانه، بهسازی کم کردن بی دررو

۱. مقدمه

الکترومغناطیسی زمینه قوی، اثر شوینگر می گویند که یک پدیده غیر اختلالی در نظریه میدان های کوانتمی است. مطالعه این پدیده با کارهای پیشگام [۱-۳] آغاز شد؛ برای مرور [۴] را ببینید. هرچند که مطالعه این پدیده برای شناخت بهتر رفتار میدان های کوانتمی در حد جفت شدگی قوی مفید است اما با وجود تلاش های فراوان هنوز در آزمایشگاه های زمینی دیده نشده است. دلیل اصلی، این است که آهنگ تولید زوج در میدان های

در فضازمان تخت به پدیده تولید زوج از خلاء در یک میدان

۱. de Sitter

۲. Regularization

۳. Adiabatic subtraction

۴. Conformal

۵. Anomaly

۶. Schwinger

بار در کار [۸] گزارش شد. برای مورد میدان دیراک فرارسانندگی فروسرخ گزارش نشده است اما در فضازمان دوسيتۀ چهار بعدی، نويسنندگان [۱۲] يافته‌اند که جريان رسانندگی الکتریکی به عنوان تابعی از میدان الکتریکی تغیير عالمت می‌دهد. مشاهده اين پدیده‌ها، انگیزه می‌دهد که افزاون بر جريان الکتریکی، كمیت‌های ديگری را نیز در فضازمان دوسيتۀ مطالعه کنیم، برای نمونه تانسور انرژی - تکانه. جريان الکتریکی برای مطالعه اثر پس‌زنی الکترومغناطیسی و تانسور انرژی - تکانه برای مطالعه اثر پس‌زنی گرانشی زوج‌های شوینگر خلق شده، نیاز هستند. در مرجع [۱۰] تولید میدان مغناطیسی برآمده از پس‌زنی اسکالارهای شوینگر در فضازمان دوسيتۀ چهار بعدی و در مرجع [۱۳] اثر پس‌زنی زوج‌های فرمیونی شوینگر روی میدان الکتریکی در فضازمان دوسيتۀ دو بعدی مطالعه شده است.

بدون در نظر گرفتن يك میدان الکترومغناطیسی زمینه، به ديگر سخن، در میدان گرانشی خالص يك فضازمان از نوع جهان‌های فریدمان - لومتر - رابرتسون - واکر^۴ به طور فضایي تخت، تانسور انرژی - تکانه میدان اسکالار [۲۰-۱۴] و میدان دیراک [۲۴-۲۱] محاسبه شده است. در کارهای [۶، ۱۴-۱۵] نويسنندگان اثر پس‌زنی گرانشی تولید ذره را در فضازمان دوسيتۀ چهار بعدی مطالعه کرده‌اند. درحالی که در کارهای [۱۶-۲۴] بيشتر نظریه بازبین‌جاري توسعه داده شده است. اثر پس‌زنی گرانشی زوج‌های اسکالار شوینگر به يك روش شبکه‌کلاسيك در مرجع [۹] مطالعه شده است و نشان داده شده که ثابت هابل و اپاشی می‌کند. نويسنندگان [۹] يافته‌اند، برای مورد يك میدان اسکالار سنتگين $1 \gg m/H$ ، مقیاس زمان برای و اپاشی ثابت هابل به طور نمایی با افزایش جرم میدان اسکالار بزرگ می‌شود. در مرجع [۲۵] اثر پس‌زنی گرانشی زوج‌های اسکالار شوینگر به يك روش شبکه‌کلاسيك در قلمرو میدان الکتریکی قوى $1 \gg eE/H$ مطالعه شده و نشان داده شده است که مقیاس زمان و اپاشی ثابت هابل با افزایش میدان الکتریکی به صورت توانی کاهش می‌یابد.

الكتريکى ضعيف‌تر از يك مقدار بحرانى $E_{critical} = 1/3 \times 10^{18} V/m$ به طور نمایي کاهش می‌يابد [۵]. به همين دليل در سال‌های اخير مطالعه اين پدیده در سامانه‌های اخترافيزيكى و كيهان‌شناسي که در آنها ميدان‌های گرانشى و الکترومغناطيسى قوى به طور طبيعى وجود دارد، مورد توجه قرار گرفته است. بدون نياز به در نظر گرفتن يك ميدان الکتریکی زمينه، حالت خلاء ميدان‌های مادي^۱ در فضازمان دوسيتۀ، به دليل وجود افق كيهان‌شناسي، ناپايدار است و از راه تابش و اپاشى می‌کند [۶] که به آن تابش گيونز- هاوکينگ^۲ گفته می‌شود. مطالعه هر دو اثر با هم، يعني مطالعه اثر شوینگر در فضازمان دوسيتۀ، با کار پيشگام [۷] آغاز شد، که چگالي تعداد زوج‌های خلق شده در آن به دست آمد. در فضازمان‌های خميده به طور كلی و دوسيتۀ به طور خاص، مفهوم ذره خوش تعريف نیست مگر اينکه شرایط شبکه‌کلاسيك در نظر گرفته شود. شرایط شبکه‌کلاسيك برای يك میدان اسکالار به جرم m و بار الکتریکی e که به يك ميدان الکتریکی یکنواخت زمينه E در يك فضازمان دوسيتۀ با ثابت هابل H ، جفت‌شده است به صورت

$$\frac{m}{H} + \frac{(eE)^2}{H^2} \gg 1, \quad (1)$$

بيان می‌شود. در کار [۸] نشان داده شده است که چون جريان الکتریکی را می‌توان بدون در نظر گرفتن شرایط شبکه‌کلاسيك برای تعريف حالت‌های ذره‌ای، به دست آورده بنابراین کمیت مناسبی برای مطالعه اثر شوینگر در فضازمان دوسيتۀ است. در کارهای [۸-۱۰] اثر شوینگر و جريان رسانندگی الکتریکی میدان اسکالار در فضازمان‌های دوسيتۀ به ترتیب دو، سه و چهار بعدی مطالعه شده‌اند. در کارهای [۱۱ و ۱۲] اثر شوینگر و جريان رسانندگی الکتریکی میدان دیراک در فضازمان‌های دوسيتۀ به ترتیب دو و چهار بعدی مطالعه شده‌اند. برای مورد میدان اسکالار نشان داده شده است [۸-۱۰] که در قلمرو فروسرخ، با کاهش ميدان الکتریکی، جريان افزایش پیدا می‌کند که به آن پدیده فرارسانندگی فروسرخ^۳ گفته شده است و اولين

1. Matter

2. Gibbons-Hawking

3. Infrared hyperconductivity

دوسيته دو بعدی مطالعه شده است.

۲. عملگر رد تانسور انرژی- تکانه

برای محاسبه چشم داشتی خلاء عملگر رد تانسور انرژی- تکانه به عملگر میدان اسکالر و تعریف حالت خلاء نیاز داریم. برای به دست آوردن عملگر میدان، از کنش یک میدان اسکالر مختلط جفت شده به یک میدان الکترومغناطیسی در فضازمان دوسيته سه بعدی، شروع می کنیم

$$S = \int d^3x \sqrt{g} \left\{ g^{\mu\nu} (\partial_\mu + ieA_\mu) \varphi (\partial_\nu - ieA_\nu) \varphi^* - (m^2 + \xi R) \varphi \varphi^* - \frac{1}{4} F_{\mu\nu} F^{\mu\nu} \right\}, \quad (2)$$

به گونه ای که m جرم میدان اسکالر، e بار الکتریکی آن و ξ یک ثابت جفت شدگی بی بعد میدان اسکالر به خمس اسکالر فضازمان دوسيته سه بعدی

$$R = 6H^2, \quad (3)$$

است. متريک فضازمان دوسيته سه بعدی در تکه پوانکاره از عنصر خط زیر خوانده می شود

$$\begin{aligned} ds^2 &= \Omega^2(\tau) (d\tau^2 - dx^2), \\ x &= (x, y) \in \mathbb{R}^2, \\ \tau &\in (-\infty, 0), \\ \Omega(\tau) &= \frac{-1}{\tau H}. \end{aligned} \quad (4)$$

برای توصیف یک میدان الکتریکی یکنواخت زمینه، پتانسیل برداری را به صورت زیر در نظر می گیریم

$$A_\mu = -\frac{E}{H\tau} \delta_\mu^1, \quad (5)$$

به گونه ای که E یک مقدار ثابت است. با اين انتخاب برای پتانسیل برداری، تنها مؤلفه های غیر صفر تانسور شدت میدان الکترومغناطیسی داده می شوند با

$$F_{01} = -F_{10} = \partial_0 A_1 - \partial_1 A_0 = \Omega^2(\tau) E. \quad (6)$$

معادله کلاین- گوردن میدان اسکالر از کنش (2) خوانده می شود

$$\left[\partial_0^2 + H\Omega(\tau)\partial_0 - \partial_1^2 - \partial_2^2 - \frac{2ieE}{H} \Omega(\tau)\partial_0 + \left(\frac{e^2 E^2}{H^2} + m_{ds}^2 \right) \Omega^2(\tau) \right] \varphi(x) = 0, \quad (7)$$

به گونه ای که تعریف کرده ایم

در همه کارهای [۱۲-۷] تولید زوج شوینگر در فضازمان دوسيته مطالعه شده است. در کار [۹] درباره اثر پس زنی گرانشی زوج های شبکه کلاسیک شوینگر نیز بحث شده است. در این پژوهش ما می خواهیم یک قدم بیشتر به جلو برداریم و بیشتر درباره پیامدهای فیزیکی تولید زوج شوینگر در فضازمان دوسيته مطالعه کنیم. اثر تولید زوج روی میدان گرانشی دوسيته یکی از این پیامدها است که به راستی پاسخ به این پرسش است که تولید زوج چه تأثیری بر سرنوشت جهان دوسيته دارد. بدون در نظر گرفتن اثر پس زنی گرانشی تولید زوج، هندسه کلاسیک جهان دوسيته یک انساط ابدی را برای آن تعیین می کند. در کار [۹] نشان داده شده است که تولید زوج های شبکه کلاسیک شوینگر به واپاشی ثابت هابل می انجامد و بنابراین پیش بینی می کند که سرنوشت جهان دوسيته یک جهان تخت باشد. انگیزه ما از این پژوهش این است که در ادامه کار [۹] و با تعیین آن، بدون در نظر گرفتن شرط شبکه کلاسیک بودن زوج ها، اثر پس زنی گرانشی تولید زوج شوینگر در فضازمان دوسيته را مطالعه کنیم. برای مطالعه پس زنی گرانشی به تانسور انرژی- تکانه زوج های خلق شده نیاز است. برای سادگی ما فرض می کنیم که زوج های خلق شده یک شاره کامل با معادله حالت خلاء تشکیل دهند. بنابراین تانسور انرژی- تکانه آنها تنها با داشتن رد تانسور به دست می آید. به طور مشخص، ما در این مقاله می خواهیم رفتار رد تانسور انرژی- تکانه زوج های اسکالر شوینگر را در تکه پوانکاره^۱ فضازمان دوسيته سه بعدی مطالعه کرده و درباره پیامدهای فیزیکی پس زنی گرانشی آن بحث کنیم. برای سادگی، مقدار ثابت جفت شدگی بی بعد میدان اسکالر به خمس اسکالر فضازمان دوسته سه بعدی را $\frac{1}{8}$ در نظر می گیریم. چون سه بعد، پایین ترین بعدی است که در آن گرانش اینشتین وجود دارد و رد یک کمیت اسکالر ناوردای پیمانه ای است، از این رو برای سادگی این کمیت را در سه بعد مطالعه کرده ایم. در مرجع [۲۶] رفتار رد تانسور انرژی- تکانه زوج های اسکالر شوینگر در تکه پوانکاره فضازمان

۱. Poincaré patch

به گونه‌ای که عملگر $a_{in,k}$ یک ذره با تکانه همراه \mathbf{k} را نابود و عملگر $b_{in,k}^\dagger$ یک پادذره با تکانه همراه \mathbf{k} را خلق می‌کند. کوانتش کانونیک میدان اسکالار با در نظر گرفتن روابط جابه‌جایی زیر، انجام می‌شود

$$\left[a_{in,k}, a_{in,k'}^\dagger \right] = \left[b_{in,k}, b_{in,k'}^\dagger \right] = (2\pi)^3 \delta^{(3)}(\mathbf{k} - \mathbf{k}'), \quad (17)$$

و حالت خلاه ورودی به صورت زیر تعریف می‌شود

$$a_{in,k} |in\rangle = 0, \quad \forall \mathbf{k}. \quad (18)$$

۳. چشمداشتی رد تانسور انرژی- تکانه تانسور انرژی- تکانه از وردش کنش (۲) به صورت زیر تعریف می‌شود

$$T_{\mu\nu}^{\text{tot}} = -\frac{2}{\sqrt{|g|}} \frac{\delta S}{\delta g^{\mu\nu}} = T_{\mu\nu} + T_{\mu\nu}^{\text{em}}, \quad (19)$$

به گونه‌ای که $T_{\mu\nu}$ تانسور انرژی- تکانه میدان اسکالار است و از وردش جمله‌های شامل φ در کنش (۲) به دست می‌آید، $T_{\mu\nu}^{\text{em}}$ تانسور انرژی- تکانه میدان الکترومغناطیس است و از وردش جمله آخر در سمت راست معادله (۲) به دست می‌آید. با استفاده از معادلات حرکت میدان اسکالار و میدان الکترومغناطیس به سادگی می‌توان نشان داد که تانسور انرژی- تکانه کُل پایسته است

$$\nabla^\mu T_{\mu\nu}^{\text{tot}} = \nabla^\mu T_{\mu\nu} + \nabla^\mu T_{\mu\nu}^{\text{em}} = 0. \quad (20)$$

چون هدف ما در این مقاله مطالعه رفتار رد تانسور انرژی- تکانه میدان اسکالار $T_{\mu\nu}$ است، از این رو دیگر تانسور انرژی- تکانه میدان الکترومغناطیس $T_{\mu\nu}^{\text{em}}$ را نادیده می‌گیریم. پس از کمی محاسبه جبری و استفاده از معادله کلاین- گوردن (۷) می‌توان نشان داد که رد تانسور انرژی- تکانه میدان اسکالار داده می‌شود با

$$g_{\mu\nu} T^{\mu\nu} = 8(\zeta_3 - \zeta_2) \left(g^{\mu\nu} (\partial_\mu - ieA_\mu) \varphi^* (\partial_\nu + ieA_\nu) \varphi - m_{ds}^2 \varphi^* \varphi \right), \quad (21)$$

به گونه‌ای که

$$\zeta_3 = \frac{1}{\lambda}, \quad (22)$$

مقدار ζ برای جفت‌شدگی همدیس میدان اسکالار به میدان گرانشی زمینه در سه بعد است. ما برای سادگی مقدار ζ را برابر با

^۲. Comoving

$$m_{ds}^2 = m^2 + \zeta R. \quad (8)$$

با جایگذاری

$$\varphi(x) = \Omega^{\frac{-1}{2}}(\tau) e^{\pm i\mathbf{k}\cdot\mathbf{x}} f^\pm(\tau), \quad (9)$$

در معادله کلاین- گوردن (۷) خواهیم داشت

$$\frac{d^2 f^\pm}{dz_\pm^2} + \left(-\frac{1}{4} + \frac{\kappa}{z_\pm} + \frac{\frac{1}{4} - \gamma^2}{z_\pm^2} \right) f^\pm = 0, \quad (10)$$

به گونه‌ای که نماد \pm به ترتیب نشان دهنده جواب‌های بسامد مثبت و منفی معادله کلاین- گوردن و متغیرهای z_- و z_+ به صورت زیر تعریف می‌شوند

$$z_+ = +\gamma ik\tau, \quad z_- = e^{i\pi} z_+ = -\gamma ik\tau, \quad k = |\mathbf{k}|. \quad (11)$$

بر حسب کمیت‌های بی‌بعد

$$\mu = \frac{m}{H}, \quad \lambda = -\frac{eE}{H^2}, \quad r = \frac{k_x}{k}, \quad (12)$$

ضریب‌های γ و κ تعریف می‌شوند

$$\kappa = -i\lambda r, \quad (13)$$

$$\gamma = \sqrt{1 - \frac{4\zeta}{\lambda} - \mu^2 - \lambda^2}. \quad (14)$$

در مرجع [۹] نشان داده شده است جواب‌های معادله کلاین- گوردن (۷) که در زمان‌های آغازی ($\infty \rightarrow -\infty$) دارای رفتار مجانبی $f^\pm \sim e^{\mp ik\tau}$ موج تخت در فضازمان مینکوفسکی هستند به ترتیب برای جواب‌های بسامد مثبت و منفی داده می‌شوند

$$U_{in,k}(x) = (\gamma k)^{\frac{1}{2}} e^{\frac{i\pi\kappa}{2}} \Omega^{\frac{-1}{2}}(\tau) e^{+i\mathbf{k}\cdot\mathbf{x}} W_{\kappa,\gamma}(z_+), \quad (15)$$

$$V_{in,k}(x) = (\gamma k)^{\frac{1}{2}} e^{\frac{-i\pi\kappa}{2}} \Omega^{\frac{-1}{2}}(\tau) e^{-i\mathbf{k}\cdot\mathbf{x}} W_{\kappa,-\gamma}(z_-),$$

به گونه‌ای که W تابع ویتاکر^۱ [۲۷] است و زیر نویس in نشان دهنده رفتار مجانبی دلخواه توابع مُد در زمان‌های آغازی است. با استفاده از مجموعه کامل توابع مُد راست هنچ‌جار داده شده در معادله (۱۵) می‌توان بسط عملگر میدان اسکالار را به صورت

زیر نوشت

$$\varphi(x) = \int \frac{d^3 k}{(2\pi)^3} \left[U_{in,k} a_{in,k} + V_{in,k} b_{in,k}^\dagger \right], \quad (16)$$

^۱. Whittaker

چون حالت خلاء ورودی هادامارد^۲ است [۷ و ۸] درجه واگرایی فرابنفس چشم داشتی خلاء ورودی کمیت‌های فیزیکی مشابه فضازمان تخت خواهد بود. بنابراین ما انتظار داشتیم که در چشمداشتی خلاء ورودی رد تانسور انرژی- تکانه یک واگرایی فرابنفس خطی رخ دهد. برای بهسازی چشمداشتی رد از روش کم کردن بی دررو استفاده می‌کنیم. برای یافتن پادجمله^۳ مناسب، با بازنویسی معادله کلاین- گوردن^(۱) برای مورد بسامدهای مثبت، آغاز می‌کنیم

$$\frac{d^{\gamma} f_A}{d\tau^{\gamma}} + \omega^{\gamma}(\tau) f_A = 0, \quad (27)$$

به گونه‌ای که بسامد وابسته به زمان خوانده می‌شود

$$\omega(\tau) = +\sqrt{k^{\gamma} + \frac{2\lambda r k}{\tau} + \frac{\mu^{\gamma} + \lambda^{\gamma}}{\tau^{\gamma}}}. \quad (28)$$

برای معادله مُد (۲۷) یک جواب به صورت زیر در نظر می‌گیریم

$$f_A(\tau) = \frac{1}{\sqrt{2W(\tau)}} \exp\left(-i \int^{\tau} W(\tau') d\tau'\right), \quad (29)$$

به شرط این که تابع W جواب معادله زیر باشد

$$W^{\gamma}(\tau) = \omega^{\gamma}(\tau) + \frac{3}{4} \frac{\dot{W}^{\gamma}}{W^{\gamma}} - \frac{1}{2} \frac{\ddot{W}}{W}, \quad (30)$$

به گونه‌ای که نقطه نشان‌دهنده مشتق نسبت به زمان هم‌دیس^۲ است. بسط بی دررو، یک بسط بر حسب تعداد مشتق‌های متريک است [۲۶ و ۳۰]. در مرتبه صفرم بسط بی دررو از جمله‌های دارای مشتق در سمت راست معادله (۳۰) در مقایسه با جمله بدون مشتق، چشم پوشی می‌کنیم و به دست می‌آوریم

$$W^{(0)}(\tau) = \omega(\tau). \quad (31)$$

با استفاده از معادله‌های (۹)، (۲۸)، (۲۹) و (۳۱) توابع مُد راست‌هنگار مرتبه صفرم بسط بی دررو، به ترتیب برای جواب‌های بسامد مثبت و منفی به صورت زیر داده می‌شوند

$$U_{A,k}(x) = (2\omega(\tau))^{\frac{-1}{2}} \Omega^{\frac{-1}{2}}(\tau) \exp\left(i\mathbf{k.x} - i \int^{\tau} \omega(\tau') d\tau'\right),$$

$$V_{A,-k}(x) = (2\omega(\tau))^{\frac{-1}{2}} \Omega^{\frac{-1}{2}}(\tau) \exp\left(i\mathbf{k.x} + i \int^{\tau} \omega(\tau') d\tau'\right). \quad (32)$$

۲ در نظر می‌گیریم، پس تنها جمله آخر در عبارت سمت راست معادله (۲۱) باقی می‌ماند و بنابر معادله (۱۴) خواهیم داشت

$$\gamma = \sqrt{\frac{1}{4} - \mu^2 - \lambda^2}. \quad (23)$$

با استفاده از عملگر میدان اسکالار (۱۶) و حالت خلاء (۱۸) خواهیم داشت

$$g^{\mu\nu} \langle \text{in} | T_{\mu\nu} | \text{in} \rangle = \frac{m^{\gamma}}{2\pi^{\gamma}} \int d^{\gamma} k U_{\text{in},k}^* U_{\text{in},k}. \quad (24)$$

با جایگذاری توابع مُد از معادله (۱۵) و استفاده از متغیر $r = k_x / k$ ، انتگرال داده شده در سمت راست معادله (۲۴) به صورت زیر بازنویسی می‌شود

$$g^{\mu\nu} \langle \text{in} | T_{\mu\nu} | \text{in} \rangle = \frac{H m^{\gamma}}{2\pi^{\gamma}} \int_{-1}^{+1} \frac{dr}{\sqrt{1-r^2}} \int_{-1}^{+1} dpe^{\pi ir} |W_{-i\lambda r, \gamma}(-2ip)|^2, \quad (25)$$

به گونه‌ای که تعریف کردہ‌ایم $p = -k\tau$ و Λ یک قطع بالا^۱ تکانه است که به دلیل مناسب بودن تعریف شده است. در مرجع [۹] تانسور انرژی- تکانه در شرایط شبکه‌کلاسیک (۱) محاسبه شده است. در این شرایط پارامتر γ موهمی محض است $| \gamma | = +i$ و $\Lambda = 2\pi$. در این مقاله، ما قید (۱) روی پارامترهای جرم و میدان الکترونیکی را در نظر نمی‌گیریم، بنابراین وابسته به مقدار پارامترهای μ, λ پارامتر γ می‌تواند حقیقی یا موهمی محض باشد. محاسبه رد (۲۵) در پیوست آ مرور شده است، برای جزئیات بیشتر مراجع [۲۸] را ببینید.

جواب نهایی داده می‌شود با [۲۸]

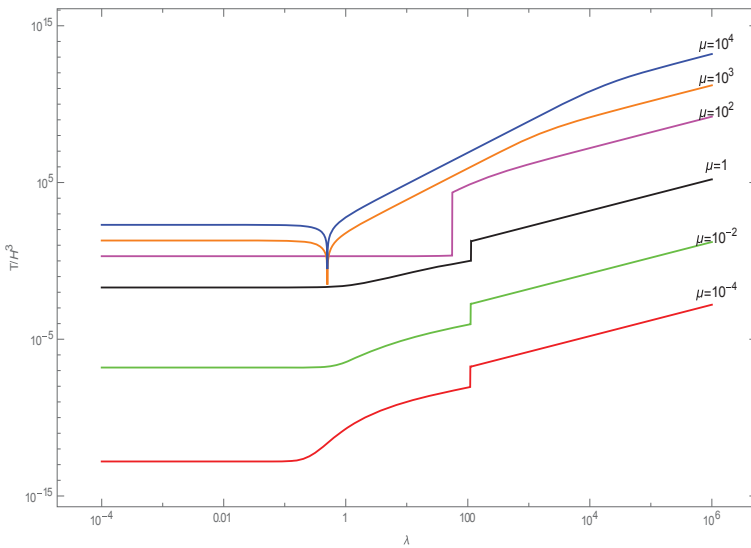
$$g^{\mu\nu} \langle \text{in} | T_{\mu\nu} | \text{in} \rangle = \frac{H^{\gamma} \mu^{\gamma} \Lambda}{2\pi} + \frac{H^{\gamma} \mu^{\gamma}}{2\pi \sin(2\pi\gamma)} [-\gamma I_0(2\pi\lambda) - \gamma \cos(2\pi\gamma) + \frac{i\lambda}{2\pi} \int_{-1}^{+1} \frac{r dr}{\sqrt{1-r^2}} \left\{ (e^{\pi ir} + e^{-\pi ir}) \psi\left(\frac{1}{2} + \gamma + i\lambda r\right) - (e^{-\pi ir} + e^{\pi ir}) \psi\left(\frac{1}{2} - \gamma + i\lambda r\right) \right\}], \quad (26)$$

به گونه‌ای که I_0 و ψ به ترتیب توابع بسل تعديل یافته مرتبه صفر و پُلی گاما هستند.

^۲. Hadamard

^۳. Counterterm

۱. Cutoff



شکل ۱. (رنگی در نسخه الکترونیکی) برای مقدارهای گوناگون μ ، رد بهسازی شده تانسور انرژی- تکانه T / H^3 به صورت تابعی از λ رسم شده است. در ناپیوستگی‌ها تغییر علامت رخ می‌دهد.

معادله (۳۵) داده شده است به صورت تابعی از میدان الکتریکی رسم شده است. این شکل نشان می‌دهد که با افزایش میدان الکتریکی و جرم اسکالار، رد افزایش پیدا می‌کند. ویژگی مشترک همه نمودارهای شکل ۱ این است که دارای یک ناپیوستگی هستند که در آن رد تغییر علامت می‌دهد. در شکل ۲ مقدار میدان الکتریکی L که در آن رد تغییر علامت می‌دهد به صورت تابعی از جرم میدان اسکالار رسم شده است. این شکل نشان می‌دهد که برای اسکالارهای سنگین‌تر، L کوچک‌تر است، به گونه‌ای که در نقطه تغییر علامت $\gamma = 113i$ است. در مرجع [۱۲] پدیده تغییر علامت برای جریان رسانندگی الکتریکی میدان دیراک در فضازمان دوسيته چهاربعدی گزارش شده است. در ادامه این بخش رفتار رد (۳۵) را به طور تحلیلی، در قلمروهای حدی گوناگون میدان الکتریکی و جرم میدان اسکالار، مطالعه می‌کنیم.

در قلمرو میدان الکتریکی قوی رابطه $\max(1, \mu) \gg \lambda$ برقرار است. رفتار رد (۳۵) در این قلمرو با گرفتن حد $\lambda \rightarrow \infty$ و ثابت نگه داشتن μ به دست می‌آید. می‌توان نشان داد که جمله پیش‌تاز^۱ رد در این قلمرو به صورت زیر داده می‌شود

با استفاده از مجموعه کامل توابع δ راست‌هنجر (۳۲) می‌توان چشمداشتی خلاه عملگر رد تانسور انرژی- تکانه را تا مرتبه صفرم بسط بی‌دررو به دست آورد

$$T_A = \frac{m^3}{2\pi} \int d^3k U_{A,k} U_{A,k}^* (\Lambda - \mu). \quad (33)$$

بنا بر روش بهسازی کم کردن بی‌دررو باید پادجمله (۳۳) را از عبارت چشمداشتی رد (۲۶) کم کنیم

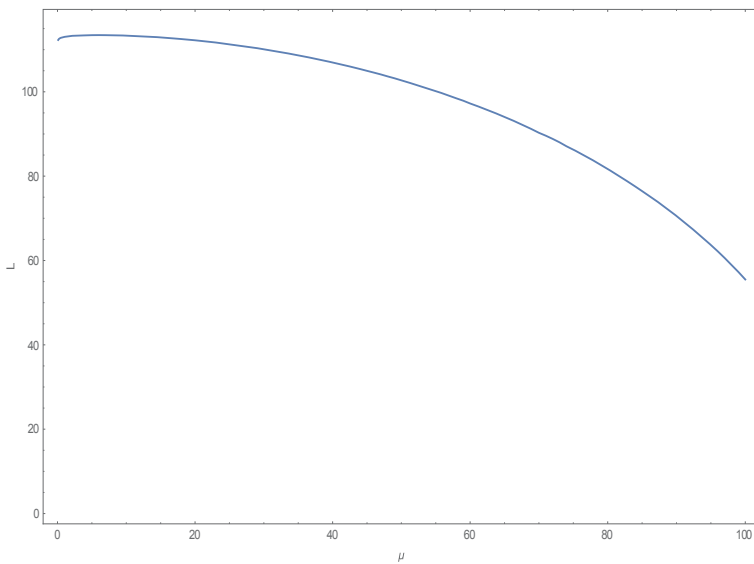
$$T = g^{\mu\nu} \langle \text{in} | T_{\mu\nu} | \text{in} \rangle - T_A, \quad (34)$$

سرانجام به دست می‌آوریم

$$T = \frac{H^3 \mu^3}{2\pi \sin(2\pi\gamma)} [\mu \sin(2\pi\gamma) - \gamma I_0(2\pi\lambda) - \gamma \cos(2\pi\gamma) + \frac{i\lambda}{2\pi} \int_{-1}^{+1} \frac{r dr}{\sqrt{1-r^2}} \left[(e^{2\pi i \gamma} + e^{2\pi \lambda r}) \psi\left(\frac{1}{2} + \gamma + i\lambda r\right) - (e^{-2\pi i \gamma} + e^{2\pi \lambda r}) \psi\left(\frac{1}{2} - \gamma + i\lambda r\right) \right]]. \quad (35)$$

بنابراین بسط بی‌دررو پادجمله رد تانسور انرژی- تکانه تا مرتبه صفر، برای حذف واگرایی فرابنفس و به دست آوردن یک عبارت متناهی، کافی است.

۴. مطالعه رفتار رد بهسازی شده تانسور انرژی- تکانه
در شکل ۱ رد بهسازی شده تانسور انرژی- تکانه که در



شکل ۲. (رنگی در نسخه الکترونیکی) میدان الکتریکی L که در آن رد تغییر علامت می‌دهد به صورت تابعی از جرم میدان اسکالار μ رسم شده است.

در کارهای [۹ و ۱۴] تانسور انرژی- تکانه به روش‌های شبکه‌کلاسیک محاسبه شده و نشان داده شده است که برای مورد میدان الکتریکی صفر و میدان اسکالار سنگین، تانسور به طور نمایی با افزایش جرم میدان اسکالار، صفر می‌شود. بنابراین نتیجه (۴۰) با محاسبه‌های شبکه‌کلاسیک ناسازگار است. این ناسازگاری با نتیجه‌های شبکه‌کلاسیک، برای رفتار جریان الکتریکی در قلمرو میدان اسکالار سنگین در فضازمان‌های دوستیه سه‌بعدی [۹] و چهار بعدی [۱۰] نیز گزارش شده است.

برای مورد میدان اسکالار سبک $1 \ll \mu$ ، جملهٔ پیشتاز رد (۳۹) به صورت زیر داده می‌شود

$$T \approx \frac{m^3}{4\pi}. \quad (41)$$

نتیجه (۴۱) نشان می‌دهد که برای مورد میدان الکتریکی صفر و میدان اسکالار با جرم صفر، یعنی مورد جفت‌شدگی همدیس- میدان اسکالار به فضازمان دوستیه سه‌بعدی، رد تانسور انرژی- تکانه صفر می‌شود. این نتیجه با وجود نداشتن ناهنجاری رد در فضازمان‌های با بعد فرد سازگار است [۳۱].

۵. بحث درباره پس زنی گرانشی تولید زوج شوینگر
در این بخش بحث کوتاهی درباره اثر پس زنی گرانشی رد

$$T \approx \frac{H^3 \mu^2}{2\pi} \left(\mu + \frac{\frac{1}{2} \log(8\pi\lambda)}{\frac{3}{2} \pi e^2} \right). \quad (36)$$

در قلمرو میدان الکتریکی ضعیف رابطه $\lambda \ll \min(1, \mu)$ برقرار است. رفتار رد (۳۵) در این قلمرو با گرفتن حد $\lambda \rightarrow 0$ به دست می‌آید. می‌توان نشان داد که جملهٔ پیشتاز رد برای مورد میدان اسکالار سنگین $1 \ll \mu$ به صورت

$$T \approx \frac{H^3 \mu}{16\pi} \left(1 + 2\lambda^2 + \mathcal{O}(e^{-2\pi\mu}) \right), \quad (37)$$

و برای مورد میدان اسکالار سبک $1 \ll \mu$ با عبارت زیر داده می‌شود

$$T \approx \frac{H^3 \mu}{4\pi} \left(\mu^2 + \lambda^2 \right). \quad (38)$$

رفتار رد برای مورد میدان الکتریکی صفر، با جای گذاری $\lambda = 0$ در عبارت (۳۵) به دست می‌آید. پس از کمی ساده‌سازی خواهیم داشت

$$T = \frac{H^3 \mu}{2\pi} (\mu - \gamma \cot(\pi\gamma)), \quad (39)$$

به گونه‌ای که $\mu = \sqrt{(1/4) - \gamma}$. برای میدان اسکالار سنگین $1 \ll \mu$ ، جملهٔ پیشتاز رد (۳۹) داده می‌شود با

$$T \approx \frac{H^3 \mu}{16\pi}. \quad (40)$$

صورت زیر می‌نویسیم

$$\frac{dH^*(t)}{dt} = -\frac{\lambda\pi HGT}{2H^{-1}}, \quad (48)$$

پس از کمی ساده‌سازی خواهیم داشت

$$\frac{dH(t)}{dt} = -\frac{4\pi HGT}{3}. \quad (49)$$

در کارهای [۶ و ۹] چون علامت تانسور انرژی- تکانه یافته شده تغییر نمی‌کند. بنابراین نویسنده‌گان نشان داده‌اند که تولید ذره به واپاشی ثابت هابل می‌انجامد. اما ما در این مقاله بنابر معادله (۴۹) نتیجه می‌گیریم که بسته به علامت T ثابت هابل می‌تواند افزایش یا کاهش پیدا کند. در مرجع [۱۴] نشان داده شده است که اثرات کوانتومی می‌توانند به یک دوره ابرشتаб $\lambda > H$ به انجامند. مطالعه عددی رد (۳۵) نشان می‌دهد که برای $L < \lambda$ علامت رد مثبت و برای $L > \lambda$ علامت رد منفی است. بنابراین برای مورد $L < \lambda$ ثابت هابل واپاشی می‌کند و مقیاس زمان واپاشی آن به صورت زیر تعریف می‌شود [۶ و ۹]

$$t_B := -\frac{H}{\frac{dH(t)}{dt}} = \frac{3T^{-1}}{4\pi G}. \quad (50)$$

در قلمروی میدان الکتریکی ضعیف و میدان اسکالار سنگین که رفتار رد با معادله (۳۷) داده می‌شود، مقیاس زمان واپاشی (۵۰) با وارون جرم میدان اسکالار متناسب است، بنابراین با افزایش آن کاهش پیدا می‌کند. این نتیجه با مقیاس زمان به دست آمده در مرجع [۹] ناسازگار است زیرا محاسبه شبکه‌کلاسیک پیش‌بینی می‌کند که تانسور انرژی- تکانه برای اسکالارهای سنگین با عامل بولتزمن $\exp(-2\pi m/H)$ متناسب باشد که به افزایش نمایی مقیاس زمان با افزایش جرم می‌انجامد.

۶. نتیجه‌گیری

در این مقاله، چشمداشتی خلاء و رودی عملگر رد تانسور انرژی- تکانه یک میدان اسکالار جرم‌دار باردار را در یک میدان الکتریکی یکنواخت زمینه در تکه پوانکاره فضازمان دوسيته سه‌بعدی محاسبه کردیم. ما برای سادگی مقدار ثابت جفت‌شده‌گی بی بعدی میدان اسکالار به خمس اسکالار فضازمان دوسيته سه‌بعدی

تانسور انرژی- تکانه که در این مقاله مطالعه شده است، ارائه می‌دهیم. فرض می‌کنیم که اثر تولید زوج در معادله انيشتین تنها به یک ثابت کیهان‌شناسی مؤثر Λ_{eff} به انجامد. از این رو معادله انيشتین را به صورت زیر می‌توان نوشت

$$R_{\mu\nu} - \frac{1}{2} R g_{\mu\nu} + \Lambda_{\text{eff}} g_{\mu\nu} = -\lambda\pi HGT_{\mu\nu}^{\text{reg}}, \quad (42)$$

به گونه‌ای که G ثابت گرانش نیوتون است. ما برای سادگی فرض می‌کنیم که زوج‌های شوینگر تولید شده یک شاره کامل با معادله حالت خلاء تشکیل دهنده بنابراین تانسور انرژی- تکانه در سمت راست معادله (۴۲) با استفاده از رد (۳۵) داده می‌شود

$$T_{\mu\nu}^{\text{reg}} = \frac{1}{3} T g_{\mu\nu}. \quad (43)$$

مشابه با مرجع [۶] استدلال می‌کنیم که از معادله انيشتین (۴۲) می‌توان نتیجه گرفت که تانسور انرژی- تکانه زوج‌های خلق شده، چشم‌های برای تحول ثابت کیهان‌شناسی از مقدار اولیه Λ_{initial} به ثابت کیهان‌شناسی مؤثر Λ_{eff} است

$$\Lambda_{\text{eff}} = \Lambda_{\text{initial}} - \frac{\lambda\pi}{3} HGT. \quad (44)$$

بنابراین، بسته به علامت رد (۳۵) ثابت کیهان‌شناسی مؤثر می‌تواند افزایش یا کاهش پیدا کند. برای این که تحول زمانی ثابت کیهان‌شناسی را دقیق‌تر مطالعه کنیم، مناسب است که فضازمان دوسيته را به صورت یک جهان فریدمان- لومتر- رابرتسون- واکر در نظر بگیریم

$$ds^2 = dt^2 - a^2(t)d\mathbf{x}^2, \quad t \in (-\infty, +\infty), \quad (45)$$

به گونه‌ای که پارامتر هابل وابسته به زمان بر حسب عامل مقیاس کیهان‌شناسی به صورت زیر تعریف می‌شود

$$H(t) := a^{-1}(t) \frac{da(t)}{dt}. \quad (46)$$

با توجه به معادله حالت خلاء شاره کامل که در معادله (۴۳) برای زوج‌های خلق شده در نظر گرفتیم، تقارن دوسيته شکسته نمی‌شود و مشابه با مرجع [۶] می‌توان فرض کرد که ثابت کیهان‌شناسی مؤثر به صورت زیر به پارامتر وابسته به زمان هابل مربوط شود

$$\Lambda_{\text{eff}} = H^*(t), \quad (47)$$

و معادله تحول زمانی برای پارامتر وابسته به زمان هابل را به

رفتار تانسور انرژی- تکانه فرمیون‌های شوینگر را نیز مطالعه کنیم. ما یافته‌ایم که برای مورد میدان اسکالار بی جرم، میدان الکتریکی هرچقدر که باشد رد صفر می‌شود. برای مورد جفت‌شده‌گی همدیس میدان اسکالار به فضازمان دوستیه سه‌بعدی، رد تانسور انرژی- تکانه صفر می‌شود، این نتیجه با وجود نداشتن ناهنجاری رد در فضازمان‌های با بعد فرد سازگار است. نشان دادیم که بسته به علامت رد، ثابت هابل و باسته به زمان می‌تواند افزایش یا کاهش یابد. مطالعه عددی رد (۳۵) نشان می‌دهد که برای $L > \lambda$ رد مثبت و برای $L < \lambda$ رد منفی است. بنابراین برای مورد $L > \lambda$ ثابت هابل واپاشی می‌کند.

پیوست آ.

محاسبه رد تانسور انرژی- تکانه پیش از بهسازی

در این پیوست محاسبه انتگرال تکانه توابع ویتاکر برای به دست آوردن مقدار چشمداشتی رد (۲۵) پیش از بهسازی مرور می‌شود. برای محاسبه انتگرال‌های تکانه در معادله (۲۵) فرآیندی را پیش می‌گیریم که در مرجع‌های [۸ و ۱۰] برای محاسبه انتگرال‌های مشابه از توابع ویتاکر استفاده شده است. انتگرالی را که می‌خواهیم محاسبه کنیم به صورت زیر در نظر می‌گیریم

$$\mathcal{I} = e^{\pi\lambda r} \int_0^\Lambda dp |W_{-i\lambda r, \gamma}(-\gamma ip)|^2. \quad (آ)$$

نمایش انتگرالی ملین- برنز^۱ [۲۷] تابع ویتاکر به صورت زیر نوشته می‌شود

$$W_{-i\lambda r, \gamma}(-\gamma ip) = e^{ip} \int_{-i\infty}^{+i\infty} \frac{ds}{2i\pi} \frac{\Gamma(\frac{1}{2} + \gamma + s)\Gamma(\frac{1}{2} - \gamma + s)\Gamma(i\lambda r - s)}{\Gamma(\frac{1}{2} + \gamma + i\lambda r)\Gamma(\frac{1}{2} - \gamma + i\lambda r)} (-\gamma ip)^{-s}, \quad (آ-۲)$$

به گونه‌ای که پربند انتگرال‌گیری، قطب‌های $\Gamma(\frac{1}{2} + \gamma + s)\Gamma(\frac{1}{2} - \gamma + s)$ را از قطب‌های $\Gamma(i\lambda r - s)$ جدا می‌کند. پارامتر γ حقیقی یا موهومی محض است بنابراین $\gamma = \pm i\pi$. با توجه به خاصیت متقارن بودن تابع ویتاکر نسبت به علامت γ ، همیوغ مختلط آن به صورت زیر داده

را $\frac{1}{8} = \gamma$ در نظر گرفتیم. مقایسه معادله (۲۱) با معادله (۲۴) گویای ارزش انتخاب چنین پیمانه‌ای است. در این پیمانه، برای مورد یک میدان اسکالار بی جرم و میدان الکترو-مغناطیسی صفر که جفت‌شده‌گی همدیس نامیده می‌شود، مسئله مورد بحث از فضازمان دوستیه به فضازمان تخت نگاشته می‌شود. با استفاده از روش بهسازی بی دررو و اگرایی خطی رد حذف شد و یک عبارت متناهی به دست آمد، معادله (۳۵) را ببینید. رد با افزایش میدان الکتریکی و افزایش جرم میدان اسکالار افزایش پیدا می‌کند، شکل ۱ را ببینید. ما یافته‌یم که رد دارای یک ناپیوستگی است که در آن تغییر علامت رخ می‌دهد. اندازه میدان الکتریکی L که در آن ناپیوستگی رخ می‌دهد با افزایش جرم میدان اسکالار کاهش می‌یابد، شکل ۲ را ببینید. اگر جمله واگرا در عبارت داده شده برای رد بهسازی نشده در معادله (۲۶) را نادیده بگیریم، آنگاه مطالعه عددی رد (۲۶) نشان می‌دهد که وجود این ناپیوستگی به پادجمله بستگی ندارد و برآمده از مقدار چشم داشتی خلاء ورودی رد است. قضایت درباره این که آیا این ناپیوستگی فیزیکی است یا خیر به نتیجه مشاهده‌های تجربی بستگی دارد. اما پیش از آن مشاهده‌ها می‌توان استدلال کرد که اگر این ناپیوستگی یک رفتار واقعی میدان اسکالار باشد آنگاه باید از روش بازبینی‌گارش مستقل باشد. یعنی اگر به جای روش کم کردن بی دررو که ما در این مقاله استفاده کردیم از هر روش بازبینی‌گارش دیگری [۲۹ و ۳۰] که در فضازمان خمیله توسعه داده شده است نیز استفاده می‌کردیم باید این پدیده به همین شکل مشاهده می‌شد. اما حتی در این صورت هم، این ناپیوستگی می‌تواند برآمده از رفتار غیرعادی میدان اسکالار باشد. همان طور که در مقدمه نیز اشاره شد برای مورد میدان اسکالار سبک $1 \ll m/H$ در قلمرو میدان الکتریکی ضعیف جریان رسانندگی با کاهش میدان الکتریکی افزایش می‌یابد $J \sim E^{-1}$ ، که نمونه‌ای از رفتار غیرعادی میدان اسکالار است [۸-۱۰]. در حالی که میدان فرمیونی چنین رفتاری ندارد و در این قلمرو با کاهش میدان الکتریکی، جریان رسانندگی به طور خطی صفر می‌شود [۱۱-۱۲]. مشاهده این ناپیوستگی این انگیزه را می‌دهد که برای نتیجه‌گیری‌های کیهان‌شناسی، در یک پژوهش دیگر در آینده،

^۱ Mellin-Barnes

به گونه‌ای که t_L قطب‌های $\Gamma\left(\frac{1}{\gamma} + \gamma + t\right) \Gamma\left(\frac{1}{\gamma} - \gamma + t\right)$ هستند و در سمت چپ پربند انتگرال‌گیری قرار دارند. در حالی که t_R قطب‌های $\Gamma(-i\lambda r - t)$ و مخرج کسر $(-\Lambda - t)$ هستند که در سمت راست پربند انتگرال‌گیری قرار دارند. ما مشابه با مرجع [۱۰] پربند انتگرال s را به گونه‌ای انتخاب می‌کنیم که افزون بر شرط (۵۸) هم‌زمان شرط زیر نیز برقرار باشد

$$\Re(s) > -1. \quad (\text{۱-۱۲})$$

برای محاسبه انتگرال (۹-آ) پربند انتگرال t را در نیم صفحه راست می‌بندیم. بنابراین قطب‌هایی که باید در نظر گرفته شوند با t_R در معادله (۱۱-آ) داده شده‌اند. با در نظر گرفتن شرط (۱۲-آ) می‌توان نشان داد که تنها قطب‌های ساده $t_R = -i\lambda r, 1 - i\lambda r, 1 - s$

$$(۱-۱۳)$$

در حد $\infty \rightarrow \Lambda$ دارای مانده غیرصفر هستند. این که تنها تعداد انگشت‌شماری قطب با مانده غیرصفر برای محاسبه باقی می‌ماند کمک بزرگی به ساده‌تر و کوتاه‌تر شدن محاسبه انتگرال رد می‌کند و ارزش انتخاب پربند، با شرط داده شده در معادله (۱۲-آ)، را نشان می‌دهد. راهنمای ما برای رسیدن به این که پربند با شرایط (۸-آ) و (۱۲-آ) محاسبه را ساده‌تر می‌کند مطالعه رفتار مجانية تابع ویتاکر [۲۷] است. رفتار مجانية انتگرال (۱-آ) می‌انجامد. به همین دلیل پربند انتگرال‌گیری را مشابه با مرجع [۱۰] در نظر گرفته‌ایم. با استفاده از قضیه مانده‌ها و در نظر گرفتن قطب‌های ساده (۱۳-آ)، انتگرال (۱-۹) محاسبه می‌شود

$$\mathcal{I}_{r,s} = h_{\circ}(r,s) + h_{\text{l}}(r,s) + h_{\text{ind}}(r,s), \quad (\text{۱-۱۴})$$

به گونه‌ای که h_{\circ} و h_{l} به Λ بستگی دارند اما h_{ind} مستقل از Λ است و داده می‌شوند با

$$h_{\circ}(r,s) = i\Gamma\left(\frac{\gamma}{\gamma} + \gamma - i\lambda r\right) \Gamma\left(\frac{\gamma}{\gamma} - \gamma - i\lambda r\right) \frac{(\gamma\Lambda)^{-s+i\lambda r}}{-s+i\lambda r} e^{i\frac{\pi}{\gamma}(s+i\lambda r)}, \quad (\text{۱-۱۵})$$

می‌شود

$$\left(W_{-i\lambda r,\gamma}(-\gamma ip)\right)^* = W_{i\lambda r,\gamma^*}(\gamma ip) = W_{i\lambda r,\gamma}(\gamma ip). \quad (\text{۱-۱۳})$$

با جای گذاری نمایش انتگرالی تابع ویتاکر و همیوغ مختلط آن در انتگرال (۱-آ) خواهیم داشت

$$\begin{aligned} \mathcal{I} = C_r \int_{-i\infty}^{+i\infty} \frac{ds}{\gamma i\pi} \Gamma\left(\frac{1}{\gamma} + \gamma + s\right) \Gamma\left(\frac{1}{\gamma} - \gamma + s\right) \Gamma(i\lambda r - s) \\ \times \int_{-i\infty}^{+i\infty} \frac{dt}{\gamma i\pi} e^{i\frac{\pi}{\gamma}(s-t)} \Gamma\left(\frac{1}{\gamma} + \gamma + t\right) \Gamma\left(\frac{1}{\gamma} - \gamma + t\right) \end{aligned} \quad (\text{۱-۱۴})$$

$$\Gamma(-i\lambda r - t) \times \gamma \int_0^\Lambda dp (\gamma p)^{-s-t},$$

به گونه‌ای که ضریب C_r تعریف می‌شود

$$C_r = \frac{e^{\pi\lambda r}}{2} \left(\frac{\Gamma\left(\frac{1}{\gamma} + \gamma + i\lambda r\right) \Gamma\left(\frac{1}{\gamma} - \gamma + i\lambda r\right)}{\Gamma\left(\frac{1}{\gamma} + \gamma - i\lambda r\right) \Gamma\left(\frac{1}{\gamma} - \gamma - i\lambda r\right)} \right)^{-1}. \quad (\text{۱-۱۵})$$

در معادله (۱-۴) انتگرال مقدماتی p به سادگی محاسبه می‌شود

$$2 \int_0^\Lambda dp (\gamma p)^{-s-t} = \frac{(\gamma\Lambda)^{1-s-t}}{1-s-t}, \quad (\text{۱-۱۶})$$

به گونه‌ای که مانند مرجع [۱۰] برای صفر شدن جواب انتگرال

در حد $\infty \rightarrow p$ فرض کردہ‌ایم

$$\Re(-s-t) + 1 > 0, \quad (\text{۱-۱۷})$$

برای این که شرط بالا برقرار باشد، پربند انتگرال‌گیری‌های s و t را به گونه‌ای انتخاب می‌کنیم که همواره داشته باشیم

$$\Re(s) < \frac{1}{2}, \quad \Re(t) < \frac{1}{2}. \quad (\text{۱-۱۸})$$

برای محاسبه انتگرال t در معادله (۱-۴) آن را به صورت زیر در نظر می‌گیریم

$$\mathcal{I}_{r,s} = \int_{-i\infty}^{+i\infty} \frac{dt}{\gamma i\pi} f_{r,s}(t), \quad (\text{۱-۱۹})$$

به گونه‌ای که

$$f_{r,s}(t) = \Gamma\left(\frac{1}{\gamma} + \gamma + t\right) \Gamma\left(\frac{1}{\gamma} - \gamma + t\right) \Gamma(-i\lambda r - t) \frac{(\gamma\Lambda)^{1-s-t}}{1-s-t} e^{i\frac{\pi}{\gamma}(s-t)}. \quad (\text{۱-۲۰})$$

برای مقدار ثابتی از متغیرهای r و s ، قطب‌های تابع $f_{r,s}(t)$ به صورت زیر داده می‌شوند

$$t_L = +\gamma - \frac{1}{\gamma} - n, -\gamma - \frac{1}{\gamma} - n, \quad (\text{۱-۲۱})$$

$$t_R = 1 - s, -i\lambda r + n, n = 0, 1, 2, \dots,$$

$$\begin{aligned} \mathcal{I}_1 &= \Lambda - \lambda r + \frac{i}{\gamma} \\ &+ \frac{i}{\gamma} \left(\frac{1}{2} + \gamma + i\lambda r \right) \left(\frac{1}{2} - \gamma + i\lambda r \right) \\ &\left. \begin{cases} \psi\left(\frac{1}{2} + \gamma + i\lambda r\right) + \psi\left(\frac{1}{2} - \gamma + i\lambda r\right) \\ -\log(2\Lambda) + \gamma_E - 1 + \frac{i\pi}{2} \end{cases} \right\}, \end{aligned} \quad (1-24)$$

به گونه‌ای که $\gamma_E = 0.5772\ldots$ ثابت اویلر است. اکنون به محاسبه انتگرال \mathcal{I}_{ind} می‌پردازیم. پس از جایگذاری عبارت h_{ind} از (1-۱۷) در معادله (1-۲۱) و کمی ساده‌سازی می‌توان نشان داد

$$\begin{aligned} \mathcal{I}_{\text{ind}} &= i\pi^{\frac{1}{2}} C_r \int_{-i\infty}^{+i\infty} \frac{ds}{2i\pi} e^{i\pi s} F_r(s) \\ &\frac{\sin \pi(s-i\lambda r) \cos \pi(\gamma-s) \cos \pi(\gamma+s)}{\sin \pi(s-i\lambda r) \cos \pi(\gamma-s) \cos \pi(\gamma+s)}, \end{aligned} \quad (1-25)$$

به گونه‌ای که تعریف کردہ‌ایم

$$F_r(s) = \frac{(s-\gamma-\frac{1}{2})(s+\gamma-\frac{1}{2})}{(s-i\lambda r)(s-i\lambda r-1)}. \quad (1-26)$$

با استفاده از اتحاد

$$\frac{1}{(s-i\lambda r)(s-i\lambda r-1)} = -\frac{1}{(s-i\lambda r)} + \frac{1}{(s-i\lambda r-1)}, \quad (1-27)$$

می‌توان نشان داد که معادله (1-۲۶) به صورت زیر بازنویسی می‌شود

$$\begin{aligned} F_r(s) &= g_r(s) - g_r(s-1) + \frac{\gamma i\lambda r}{(s-i\lambda r)}, \\ g_r(s) &= (s-i\lambda r) - \frac{(-\lambda^2 r^2 + i\lambda r - \gamma^2 + \frac{1}{4})}{(s-i\lambda r)}. \end{aligned} \quad (1-28)$$

با جایگذاری از (1-۲۸) در معادله (1-۲۵) خواهیم داشت

$$\begin{aligned} \mathcal{I}_{\text{ind}} &= i\pi^{\frac{1}{2}} C_r \int_{-i\infty}^{+i\infty} \frac{ds}{2i\pi} e^{i\pi s} \\ &\frac{\sin \pi(s-i\lambda r) \cos \pi(\gamma-s) \cos \pi(\gamma+s)}{\left\{ g_r(s) - g_r(s-1) + \frac{\gamma i\lambda r}{(s-i\lambda r)} \right\}}. \end{aligned} \quad (1-29)$$

برای سادگی محاسبه \mathcal{I}_{ind} , آن را به صورت زیر در نظر می‌گیریم

$$\mathcal{I}_{\text{ind}} = \mathcal{I}_{\text{ind}}^g + \mathcal{I}_{\text{ind}}^{\text{frac}}, \quad (1-30)$$

به گونه‌ای که $\mathcal{I}_{\text{ind}}^g$ و $\mathcal{I}_{\text{ind}}^{\text{frac}}$ از معادله‌های زیر خوانده می‌شوند

$$\begin{aligned} h_1(r, s) &= \Gamma\left(\frac{1}{2} + \gamma - i\lambda r\right) \\ &+ \Gamma\left(\frac{1}{2} - \gamma - i\lambda r\right) \frac{(2\Lambda)^{-s+i\lambda r}}{1-s+i\lambda r} e^{i\frac{\pi}{2}(s+i\lambda r)}, \end{aligned} \quad (1-16)$$

$$\begin{aligned} h_{\text{ind}}(r, s) &= -i\Gamma\left(\frac{1}{2} + \gamma - s\right) \\ &\Gamma\left(\frac{1}{2} - \gamma - s\right) \Gamma(-1+s-i\lambda r) e^{i\pi s}. \end{aligned} \quad (1-17)$$

پس می‌توان نوشت

$$\mathcal{I} = \mathcal{I}_o + \mathcal{I}_1 + \mathcal{I}_{\text{ind}}, \quad (1-18)$$

به گونه‌ای که

$$\begin{aligned} \mathcal{I}_o &= C_r \int_{-i\infty}^{+i\infty} \frac{ds}{2i\pi} \Gamma\left(\frac{1}{2} + \gamma + s\right) \\ &\Gamma\left(\frac{1}{2} - \gamma + s\right) \Gamma(-s+i\lambda r) h_o(r, s), \end{aligned} \quad (1-19)$$

$$\begin{aligned} \mathcal{I}_1 &= C_r \int_{-i\infty}^{+i\infty} \frac{ds}{2i\pi} \Gamma\left(\frac{1}{2} + \gamma + s\right) \\ &\Gamma\left(\frac{1}{2} - \gamma + s\right) \Gamma(-s+i\lambda r) h_1(r, s), \end{aligned} \quad (1-20)$$

$$\begin{aligned} \mathcal{I}_{\text{ind}} &= C_r \int_{-i\infty}^{+i\infty} \frac{ds}{2i\pi} \Gamma\left(\frac{1}{2} + \gamma + s\right) \\ &\Gamma\left(\frac{1}{2} - \gamma + s\right) \Gamma(-s+i\lambda r) h_{\text{ind}}(r, s). \end{aligned} \quad (1-21)$$

برای محاسبه انتگرال s در \mathcal{I}_o و \mathcal{I}_1 می‌توان نشان داد که

قطب‌ها به صورت زیر داده می‌شوند

$$\begin{aligned} s_R &= i\lambda r + n, & s_L &= +\gamma - \frac{1}{2} - n, \\ -\gamma - \frac{1}{2} - n, & n = 0, 1, 2, \dots, \end{aligned} \quad (1-22)$$

به گونه‌ای که قطب $i\lambda r$, h_o , h_1 , s_R قطب‌های s_L , $\Gamma(-s+i\lambda r)$, $\Gamma\left(\frac{1}{2} - \gamma + s\right)$, $\Gamma\left(\frac{1}{2} + \gamma + s\right)$ هستند. پربند انتگرال s را در نیم صفحه راست می‌بناییم. بنابراین قطب‌هایی که باید در نظر گرفته شوند با s_R در معادله (1-۲۲) داده شده‌اند. در محاسبه \mathcal{I}_o تنها قطب مرتبه دو $i\lambda r$ دارای مانده غیرصفر در حد $\infty \rightarrow \Lambda$ است. به طور مشابه، در محاسبه \mathcal{I}_1 قطب‌های ساده $i\lambda r$ و مرتبه دو $i\lambda r$, دارای مانده غیرصفر هستند. با استفاده از قضیه مانده‌ها و کمی محاسبات جبری خواهیم داشت

$$\begin{aligned} \mathcal{I}_o &= -\frac{i}{2} \left(\frac{1}{2} + \gamma - i\lambda r \right) \left(\frac{1}{2} - \gamma - i\lambda r \right) \\ &\left\{ \begin{array}{l} \psi\left(\frac{1}{2} + \gamma + i\lambda r\right) + \psi\left(\frac{1}{2} - \gamma + i\lambda r\right) \\ -\log(2\Lambda) + \gamma_E + \frac{i\pi}{2} \end{array} \right\}, \end{aligned} \quad (1-23)$$

شكل انتگرال (۳۲-آ) مانند انتگرالی است که در مرجع [۱۰] روش محاسبه آن توضیح داده شده است. با راهنمایی گرفتن از [۱۰] و کمی محاسبه خواهیم داشت

$$\mathcal{I}_{\text{ind}}^{\text{frac}} = \lambda r \gamma_E + \frac{i \lambda r}{\sin(2\pi\gamma)} \left\{ \begin{aligned} & \left(e^{-\gamma i \pi \gamma} + e^{\gamma i \pi \gamma} \right) \psi\left(\frac{1}{\gamma} + \gamma + i \lambda r\right) \\ & - \left(e^{\gamma i \pi \gamma} + e^{-\gamma i \pi \gamma} \right) \psi\left(\frac{1}{\gamma} - \gamma + i \lambda r\right) \end{aligned} \right\}. \quad (\tilde{1}-36)$$

سرانجام با استفاده از معادله های (۱۸-آ)، (۲۴-آ)، (۲۳-آ) و (۳۵-آ) به دست می آوریم

$$\begin{aligned} \mathcal{I} = & \Lambda + \lambda r \log(2\Lambda) - \lambda r - \frac{i \pi \lambda r}{2} \\ & - \frac{\gamma}{\sin(2\pi\gamma)} \left(e^{\gamma i \pi \gamma} + \cos(2\pi\gamma) \right) + \frac{i \lambda r}{\sin(2\pi\gamma)} \\ & \left(\left(e^{\gamma i \pi \gamma} + e^{\gamma i \pi \gamma} \right) \psi\left(\frac{1}{\gamma} + \gamma + i \lambda r\right) - \left(e^{-\gamma i \pi \gamma} + e^{-\gamma i \pi \gamma} \right) \psi\left(\frac{1}{\gamma} - \gamma + i \lambda r\right) \right). \end{aligned} \quad (\tilde{1}-37)$$

با استفاده از معادله های (۲۵) و (۱-آ) رد تانسور انرژی - تکانه بهسازی نشده به صورت زیر داده می شود

$$g^{\mu\nu} \langle in | T_{\mu\nu} | in \rangle = \frac{Hm^2}{2\pi^2} \int_{-1}^{+1} \frac{\mathcal{I} dr}{\sqrt{1-r^2}}. \quad (\tilde{1}-38)$$

با جای گذاری \mathcal{I} از معادله (۳۷-آ) در معادله (۳۸-آ) و گرفتن انتگرال r سرانجام رد تانسور انرژی - تکانه بهسازی نشده به دست می آید که در معادله (۲۶) داده شده است.

$$\begin{aligned} \mathcal{I}_{\text{ind}}^g = & i \pi^r C_r \int_{-i\infty}^{+i\infty} \frac{ds}{2i\pi} \\ & \frac{e^{i\pi s} (g_r(s) - g_r(s-1))}{\sin \pi(s-i\lambda r) \cos \pi(\gamma-s) \cos \pi(\gamma+s)}, \end{aligned} \quad (\tilde{1}-31)$$

$$\begin{aligned} \mathcal{I}_{\text{ind}}^{\text{frac}} = & i \pi^r C_r \int_{-i\infty}^{+i\infty} \frac{ds}{2i\pi} \\ & \frac{e^{i\pi s}}{\sin \pi(s-i\lambda r) \cos \pi(\gamma-s) \cos \pi(\gamma+s)} \frac{2i\lambda r}{(s-i\lambda r)}. \end{aligned} \quad (\tilde{1}-32)$$

برای محاسبه $\mathcal{I}_{\text{ind}}^g$ ابتدا قطب های انتگرالده آن را مشخص می کنیم

$$s_R = \pm \gamma + \frac{1}{\gamma} + n, \quad i\lambda r + n, \quad (\tilde{1}-33)$$

$$s_L = \pm \gamma - \frac{1}{\gamma} - n, -1 + i\lambda r - n, \quad n = 0, 1, 2, \dots,$$

به گونه ای که قطب های s_R در سمت راست و قطب های s_L در سمت چپ پربند انتگرال گیری قرار گرفته اند. پربند انتگرال را در نیم صفحه چپ می بندیم، بنابراین قطب های s_L درون پربند انتگرال گیری قرار می گیرند. چون در محاسبه انتگرال (۳۱-آ) سهم مانده قطب داده شده با $n+1$ در جمله شامل $(g_r(s-1))$ حذف می شود، بنابراین به غیر از قطب های زیر سهم توسط سهم مانده قطب داده شده با n در جمله شامل مانده سایر قطب ها حذف خواهد شد

$$s_L = +\gamma - \frac{1}{\gamma}, -\gamma - \frac{1}{\gamma}, -1 + i\lambda r. \quad (\tilde{1}-34)$$

بنابراین به دست می آوریم

$$\begin{aligned} \mathcal{I}_{\text{ind}}^g = & -\frac{i \lambda^r r^r}{2} - \frac{\lambda r}{2} - \frac{i \gamma^r}{2} - \frac{3i}{8} \\ & - \frac{\gamma}{\sin(2\pi\gamma)} \left(e^{\gamma i \pi \gamma} + \cos(2\pi\gamma) \right). \end{aligned} \quad (\tilde{1}-35)$$

مراجع

9. E Bavarsad, C Stahl and S S Xue, *Phys. Rev. D* **94** (2016) 104011.
10. T Kobayashi and N Afshordi, *J. High Energy Phys.* **1410** (2014) 166.
11. C Stahl, E Strobel, and S S Xue, *Phys. Rev. D* **93** (2016) 025004.
12. T Hayashinaka, T Fujita, and J Yokoyama, *J. Cosmol. Astropart. Phys.* **07** (2016) 010.
13. C Stahl and S S Phys. Lett. B **760** (2016) 288.
14. T Markkanen, A Rajantie, *J. High Energy Phys.* **1701** (2017) 133.
15. T Markkanen, De Sitter Stability and Coarse
1. F Sauter, *Z. Phys.* **69** (1931) 742.
2. W Heisenberg and H Euler, *Z. Phys.* **98** (1936) 714.
3. J S Schwinger, *Phys. Rev.* **82** (1951) 664.
4. F Gelis and N Tanji, *Prog. Part. Nucl. Phys.* **87** (2016) 1.
5. A Di Piazza, C Muller, K Z Hatsagortsyan, and C H Keitel, *Rev. Mod. Phys.* **84** (2012) 1177.
6. E Mottola, *Phys. Rev. D* **31** (1985) 754.
7. J Garriga, *Phys. Rev. D* **49** (1994) 6343.
8. M B. Fröb, J Garriga, S Kanno, M Sasaki, J Soda, T Tanaka and A Vilenkin, *J. Cosmol. Astropart. Phys.* **1404** (2014) 009.

- اسکالرهای شوینگر در فضازمان دوسيتىه ۲^{بعادى}، پيان نامه کارشناسي ارشد، دانشگاه کاشان (۱۳۹۶).
27. F W J Olver, D W Lozier, R F Boisvert, and C W Clark, “*NIST Handbook of Mathematical Functions*”, Cambridge University Press, Cambridge, UK, (2010).
۲۸. مرتضى زاده، ”بررسى تريپس تانسور انرژی- تکانه ميدان اسکالر در حضور ميدان الکترويکى زمينه در فضازمان دوسيتىه ۳^{بعادى}“، پيان نامه کارشناسي ارشد، دانشگاه کاشان (۱۳۹۶).
29. L Parker and D Toms, “*Quantum Field Theory in Curved Spacetime: Quantized Fields and Gravity*”, Cambridge University Press, Cambridge, UK, (2009).
30. N D Birrell and P C W Davies, “*Quantum Fields in Curved Space*”, Cambridge University Press, Cambridge, UK (1984).
31. M J Duff, *Class. Quant. Grav.* **11** (1994) 1387.

- Graining, arXiv:1703.06898 [gr-qc].
16. L Parker and S A Fulling, *Phys. Rev. D* **9** (1974) 341.
17. S A Fulling and L Parker, *Annals Phys.* **87** (1974) 176.
18. J S Dowker and R Critchley, *Phys. Rev. D* **13** (1976) 3224.
19. S Habib, C Molina-Paris, and E Mottola, *Phys. Rev. D* **61** (1999) 024010.
20. D Lopez Nacir and F D Mazzitelli, *Phys. Rev. D* **76** (2007) 024013.
21. A Landete, J Navarro-Salas, and F Torrenti, *Phys. Rev. D* **89** (2014) 044030.
22. A. Landete, J Navarro-Salas, and F Torrenti, *Phys. Rev. D* **88** (2013) 061501.
23. S Ghosh, *Phys. Rev. D* **91** (2015) 124075.
24. S Ghosh, *Phys. Rev. D* **93** (2016) 044032.
۲۵. ن. مارگسيان، ”تانسور شبکه کلاسیک انرژی- تکانه ذرات اسکالر شوینگر خلق شده در فضازمان دوسيتىه“، پيان نامه کارشناسي ارشد، دانشگاه کاشان (۱۳۹۶).
۲۶. ز. سجادى نيا، ”триپس باز بهنجار شده تانسور انرژی- تکانه